

## II-1 設置ケーリンの回転に関する2,3の考察

(株)間組 土木本部 設計部

正会員 鈴木 正勝

(株)間組 土木本部 設計部

○松本 茂生

### 1. まえがき

設置ケーリンの安定については、転倒と滑動に対して検討されることが多く、偏心した水平外力によって生じる回転に関する検討が行なわれることは少なかつ。しかしながら、設置ケーリンが単体の構造物として利用されることが多くなるにつれ、回転問題は同時に発生する構造部材のねじりと共に重要な検討課題となつてゐる。

本文では上記の設置ケーリンの回転の安全率を算出する方法を提案し、試算してみた。

### 2. 地盤反力

回転問題を考える時、地盤反力分布が問題となるが、ここではケーリンを完全剛体とし、地盤反力は直線分布と仮定する。地盤反力計算は、ケーリンに作用する直圧力の作用点が核内にある時は(1)式により簡単に求まる。

$$R_{max} = \frac{N}{B \cdot D} \cdot \left( 1 + \frac{6ex}{B} + \frac{6ey}{D} \right) \quad \dots \dots (1)$$

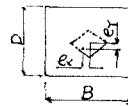


図-1

一方、直圧力の作用点が核外にある時は、その計算は複雑なため、図-3～図-7のパターンを考え、ケーリンに作用する荷重合力作用点における直圧力と地盤反力の鉛直条件((2)式～(4)式)を満足するような  $R_{max}$ ,  $R_{min}$ ,  $Bx$ ,  $\alpha$  を試行的に算出して。(図-2参照)

$$N = \int_A R(x, y) dA \quad \dots \dots (2)$$

$R(x, y)$ : 地盤反力

$$G_x = \int_A R(x, y) \cdot Y dA = 0 \quad \dots \dots (3)$$

$N$ : 直圧力(鉛直合力)

$$G_y = \int_A R(x, y) \cdot X dA = 0 \quad \dots \dots (4)$$

$A$ : 地盤反力作用面積(図-2 陰影部)

$G_x, G_y$ :  $x-x$ ,  $y-y$  軸の一次モーメント

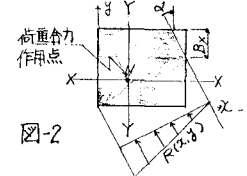


図-2

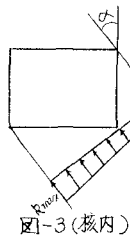


図-3(核内)

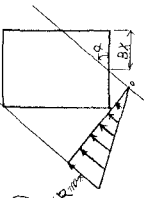


図-4  $R_{max}$

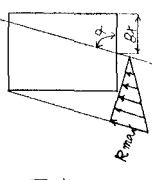


図-5

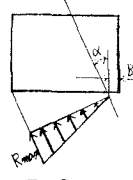


図-6

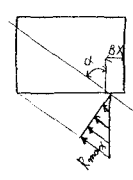


図-7

### 2. 回転

#### 1) 回転力のみを考慮した場合

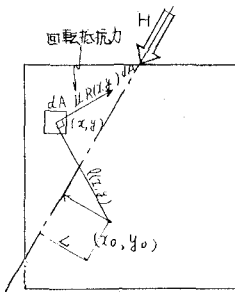


図-8

回転安全率(SF1)は(5)式で求められる。(図-8参照)

$$SF1 = M_R / M_0$$

$$M_R = \int_A \mu R(x, y) \sqrt{(x - x_0)^2 + (y - y_0)^2} \cdot dA \quad \dots \dots (5)$$

$$M_0 = H \cdot L$$

$R(x, y)$ :  $(x, y)$ における地盤反力

$M_R$ : 回転抵抗モーメント

$M_0$ : 回転モーメント

$(x_0, y_0)$ : 回転中心の座標  $\mu$ : 摩擦係数

#### 2) 水平力を同時に考慮した場合

ケーリンに作用する水平力(H)によって回転モーメントが発生した時の摩擦抵抗力は滑動抵抗力と回転抵抗力

に分解されるとする。転倒、滑動に対して安定であるケーンでは、次の様に回転安全率(SF2)が求められる。今、水平力(H)によるケーンの滑動安全率をSf、地盤反力をR(x,y)とする。

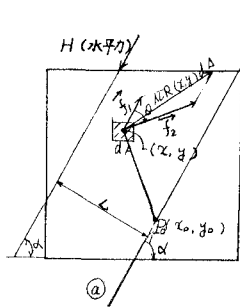


図-9

この時、微小要素dAに作用する滑動抵抗力( $f_1$ )は地盤反力R(x,y)に比例するとすれば(6)式で表わされる。

$$f_1 = \mu \cdot R(x,y) dA / S_f \quad \dots (6)$$

また、 $f_1$ と回転抵抗力 $f_2$ の合力は全摩擦抵抗力になると考えれば、 $f_2$ は(7)式で与えられる。

$$f_2 = \mu \cdot R(x,y) (\sqrt{1 - (\sin \theta / S_f)^2} - \cos \theta / S_f) dA \quad \dots (7) \quad \theta: f_1, f_2 のなす角$$

この回転抵抗力は図-9に示す回転中心P<sub>0</sub>を通る直線②の左側では減となり、右側では増となる。

従って、求める回転抵抗モーメントM<sub>R</sub>は(8)式のようになる。

$$\text{回転抵抗モーメント } M_R = \int_A \mu \cdot R(x,y) (\sqrt{1 - (\sin \theta / S_f)^2} - \cos \theta / S_f) \cdot \sqrt{(x-x_0)^2 + (y-y_0)^2} \cdot dA \quad \dots (8)$$

$$\text{回転モーメント } M_0 = H \cdot L \quad \dots (9) \quad Sf2 = M_R / M_0 \quad \dots (10)$$

### 3. 水平力を考慮した場合としない場合の試算比較

図-10, 図-11に示すモデルで試算した場合の結果を表-1と図-12に示す。

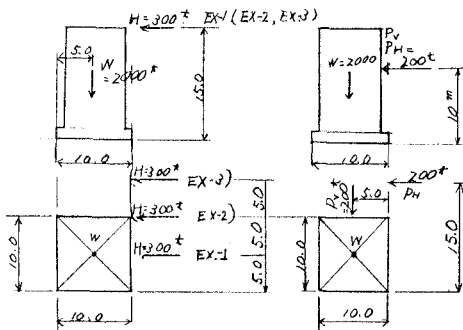


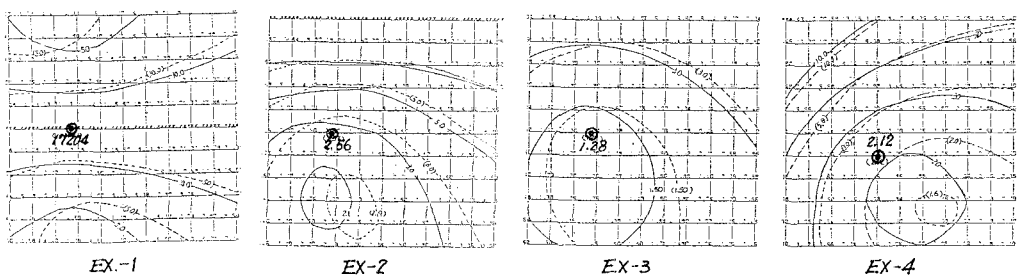
図-10(EX-1, EX-2, EX-3モデル) 図-11(EX-4モデル)

表-1 試算結果

項目 モデル	回転安全率(SF)		地盤反力 R <sub>max</sub> (t/m <sup>2</sup> )
	SF1(min)	SF2(min)	
EX-1	4.383	4.192	48.485
EX-2	2.026	1.944	"
EX-3	1.196	1.150	"
EX-4	1.834	1.582	44.095

SF1:回転力のみを考慮した場合の回転安全率

SF2:水平力を同時に考慮した場合の回転安全率



凡例 — SF1 (◎は回転中心か地盤反力作用点。)

---- SF2

図-12 回転安全率分布図

### 4. あとがき

SF1とSF2の分布に大きな差はないが、SF1 minとSF2 minを比較すると若干SF2 minが小さな値となる傾向がみられる。